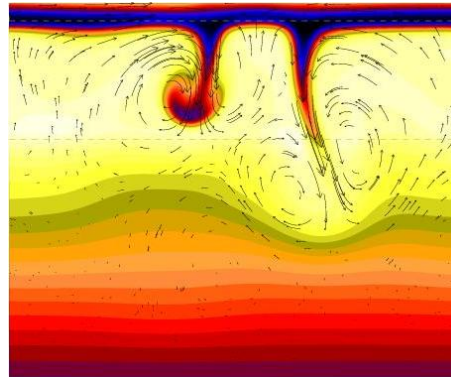


Excitation stochastique d'ondes internes par la pénétration convective

Boris Dintrans

Observatoire Midi-Pyrénées
Laboratoire d'Astrophysique de Toulouse - UMR5572
dintrans@ast.obs-mip.fr



Collaborateur : Axel Brandenburg (NORDITA).

Les motivations

Challenges numériques

Détection des IGWs ?

Le sous-espace...

Convection et IGWs

Conclusion

Page de Titre



Page 1 de 11

Retour

Full Screen

Fermer

Quitter

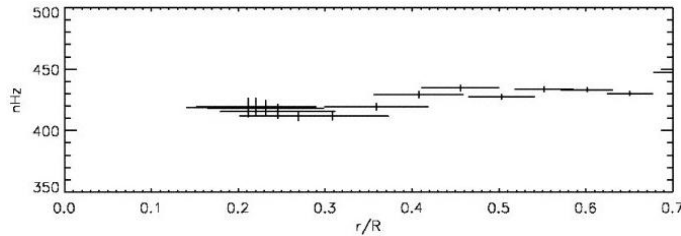
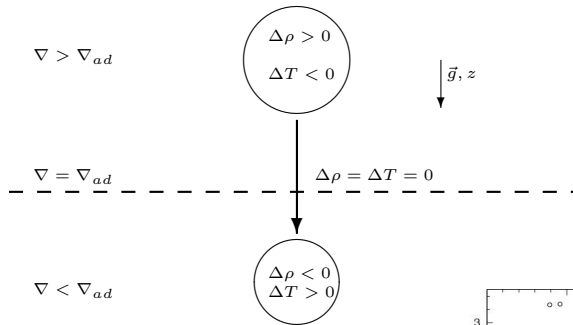


1. Les motivations

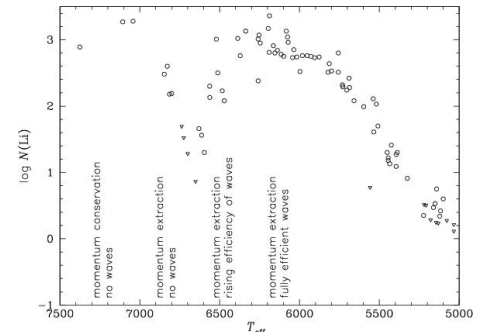
- Théorie locale de la longueur de mélange :

$$\left. \begin{aligned} v^2 &\propto \frac{\Delta T}{T} g \ell \\ F_{conv} &= \rho v C_p \Delta T \\ \frac{\Delta T}{T} &\propto \nabla - \nabla_{ad} \end{aligned} \right\} \Rightarrow v = \Delta T = F_{conv} = 0 \quad \text{quand} \quad \nabla = \nabla_{ad} \quad (\text{Schwarzschild})$$

- Mais attention : $\nabla = \nabla_{ad}$ implique seulement que $\Delta\rho = \Delta T = 0$ (Archimède + poids = 0) et non $v = 0$, *i.e.* accélération nulle \neq pas de mouvement



Couvidat et al. 2003



Talon et Charbonnel 2003

Page de Titre

◀ ▶

◀ ▶

Page 2 de 11

Retour

Full Screen

Fermer

Quitter

Les motivations

Challenges numériques

Détection des IGWs ?

Le sous-espace ...

Convection et IGWs

Conclusion

2. Challenges numériques

1) Quand on traverse la zone convective solaire, le nombre de Péclet passe de $\mathcal{O}(1)$ à $\mathcal{O}(10^{10})!$

⇒ les simulations hydro du bas de la ZC doivent se faire à diffusivité radiative très petite, i.e. $\chi \ll 1$.

$$\chi \ll 1 \Rightarrow Pe = \frac{VL}{\chi} \gg 1 : \text{petits pas de temps avec un code explicite en temps.}$$

2) $Pe = Re \times Pr$ avec $Pr \lesssim 1 : l_d \sim L/Re^{3/4}$ (Kolmogorov) $\Rightarrow l_d/L \ll 1$ donc $N \gg 1!$



on relaxe une des 2 contraintes $\chi \ll 1$ ou $\nu \ll 1$: on garde $Pe \gg 1$

⇒ dissipation importante aux grandes échelles : **laminaire** avec $Re \sim 10^3$.

3) Modes de gravité \equiv modes à longues périodes, avec en plus une excitation stochastique

⇒ runs très longs avec typiquement $\Delta t \sim 1000 (d/g)^{1/2}$.

• Version simplifiée du code MHD de Stein & Nordlund : $\vec{B} = \vec{\Omega} = \vec{0}$, approximation de diffusion pour le flux radiatif et terme de cooling à la surface :

$$\begin{cases} \frac{D \ln \rho}{Dt} = -\vec{\nabla} \cdot \vec{u}, \\ \frac{D \vec{u}}{Dt} = -(\gamma - 1) \left(e \vec{\nabla} \ln \rho + \vec{\nabla} e \right) + \vec{g} + \frac{1}{\rho} \vec{\nabla} \cdot (2\nu \rho \mathcal{S}), \\ \frac{De}{Dt} = -(\gamma - 1) e \vec{\nabla} \cdot \vec{u} + \frac{1}{\rho} \vec{\nabla} \cdot (\mathcal{K} \vec{\nabla} e) + 2\nu \mathcal{S}^2 - \frac{e - e_0}{\tau(z)}, \end{cases}$$

Les motivations

Challenges numériques

Détection des IGWs ?

Le sous-espace ...

Convection et IGWs

Conclusion

Page de Titre



Page 3 de 11

Retour

Full Screen

Fermer

Quitter

- Gaz parfait monoatomique $P = (\gamma - 1)\rho e$ avec $\gamma = 5/3$ et $\vec{g} = \vec{cte}$.

- Conditions aux limites :

- périodiques en x .
- flux radiatif fixé à la base et température fixée à la surface.
- conditions stress-free pour la vitesse ($v = \partial_z u = \partial_z v = 0$).

- Résolution numérique :

- dérivées spatiales via des différences finies compactes d'ordre 6.
- avancement en temps explicite avec un schéma d'Hymans du 3ème ordre (dt variable).
- parallélisation via OpenMP (Origin 2000) : scalabilité 3-D \approx linéaire jusqu'à 16 procs.
- convergence accélérée via $\nabla - \nabla_{ad} = k(F_{conv}/\rho c_s^3)^{2/3}$ avec $k \simeq 1.5$.
- modèles initiaux polytropiques ou isothermes.

$$\mathcal{K}_i = \frac{K}{C_v} = \frac{F_b}{g}(\gamma - 1)(m_i + 1) \Rightarrow \text{on fixe } \left(\frac{dT}{dz}\right) \text{ avec } m_{ad} = \frac{1}{\gamma - 1} = \frac{3}{2}.$$

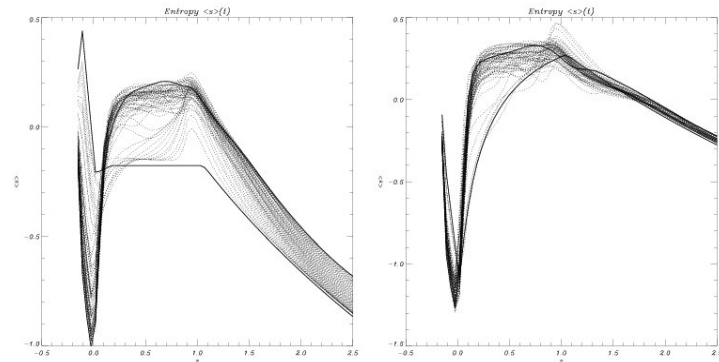
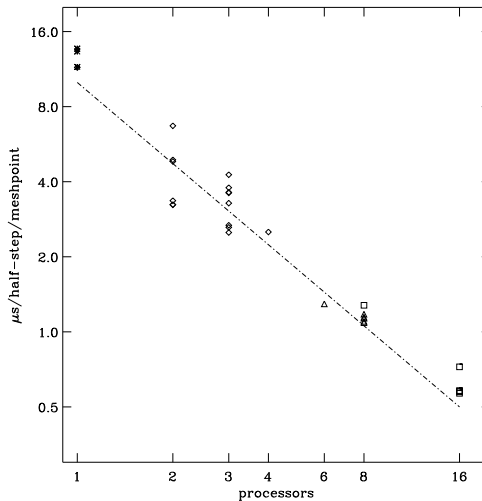


Figure 1: (g): $\nabla - \nabla_{ad} = 1 - 1/\gamma$ dans la zone convective. (d): $\nabla - \nabla_{ad} + k(F_c/\rho c_s^3)^{2/3}$ avec $k = 1.5$ et $F_c = 10^{-2}$ ($N=50000$ et $t=131.02$).

Les motivations

Challenges numériques

Détection des IGWs ?

Le sous-espace...

Convection et IGWs

Conclusion

Page de Titre

◀

▶

◀

▶

Page 4 de 11

Retour

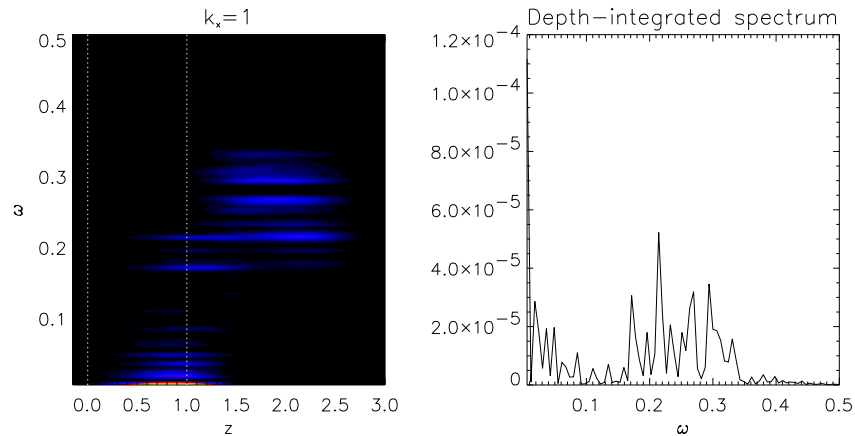
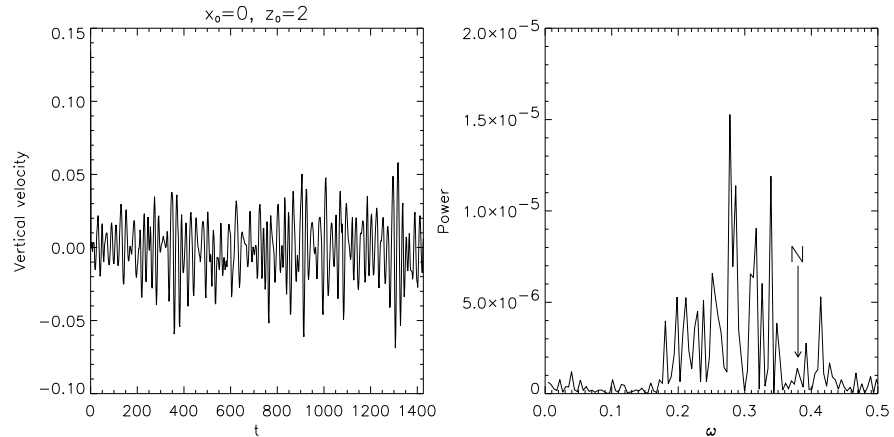
Full Screen

Fermer

Quitter

3. Détection des IGWs ?

- Comment connaître le spectre des IGWs se propageant dans la zone stable ainsi que leurs amplitudes ?



[excitation stochastique par les panaches non reproduite](#)

Les motivations

Challenges numériques

Détection des IGWs ?

Le sous-espace...

Convection et IGWs

Conclusion

Page de Titre



Page 5 de 11

Retour

Full Screen

Fermer

Quitter

4. Le sous-espace anélastique

- On perturbe le système complet d'équations autour d'une position d'équilibre, puis on filtre les ondes acoustiques et on cherche finalement les modes propres $\vec{\xi} = [u(z) \cos(kx), v(z) \sin(kx)] \exp(i\omega t)$ solutions de (Dintrans & Rieutord 2001) :

$$\begin{cases} \omega^2 \left(v - \frac{1}{k} \frac{du}{dz} \right) = N^2 v & \text{avec } N^2 = g \left(\frac{1}{\gamma} \frac{d \ln \bar{P}}{dz} - \frac{d \ln \bar{\rho}}{dz} \right) = \frac{g}{c_p} \frac{d\bar{s}}{dz}, \\ -ku + \frac{dv}{dz} + \frac{d \ln \rho}{dz} v = 0, \\ du/dz = v = 0 & \text{pour } z = z_1 \text{ et } z = z_4. \end{cases}$$



les vecteurs propres anélastiques forment une base orthogonale
 \Rightarrow coefficients sur la base \equiv **AMPLITUDES DES MODES G**

$$\vec{\xi}_{\text{simul}} = \sum_{k,n} \langle \vec{\xi}_{kn}, \vec{\xi}_{\text{simul}} \rangle \vec{\xi}_{kn} + \vec{\xi}_{\text{other}} \Rightarrow \mathcal{A}_{kn} = \| \langle \vec{\xi}_{kn}, \vec{\xi}_{\text{simul}} \rangle \|$$

- Test avec l'atmosphère isotherme : Dintrans & Brandenburg (2003) astro-ph/0311094

$$\rho(z) = \rho_0 \exp(z/H), \quad N^2 = \left(1 - \frac{1}{\gamma} \right) \frac{1}{H} = cte \quad \text{avec } H = \frac{c_s^2}{\gamma g}.$$

Solutions exactes pour les modes anélastiques

$$\begin{cases} \omega_{kn} = N \left[1 + \frac{1}{k^2} \left(\frac{\gamma^2}{4} + n^2 \pi^2 \right) \right]^{-1/2}, \\ u_{kn}(z) = \frac{C}{k} e^{-\gamma z/2} \left[n\pi \cos(n\pi z) + \left(1 - \frac{\gamma}{2} \right) \sin(n\pi z) \right], \\ v_{kn}(z) = C e^{-\gamma z/2} \sin(n\pi z). \end{cases}$$

Les motivations

Challenges numériques

Détection des IGWs ?

Le sous-espace ...

Convection et IGWs

Conclusion

Page de Titre



Page 6 de 11

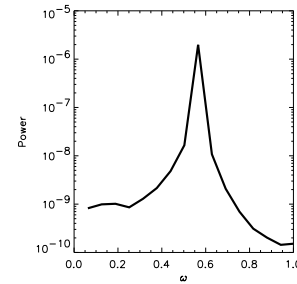
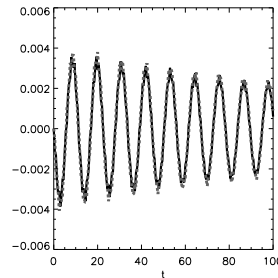
Retour

Full Screen

Fermer

Quitter

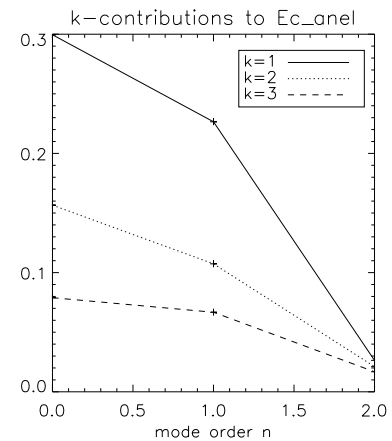
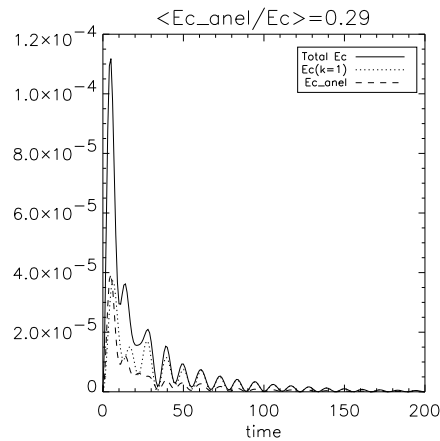
- Etude du mode $k = 1$ et $n = 0$ ($\omega_{10} \simeq 0.569$) :



$$A_{10}(t) \propto \exp(-t/\tau) \exp(i\omega_{10}t)$$

- Statistique de l'amplitude des modes :

$$\vec{\xi}(z, t) = \sum_{k=0}^{\infty} \sum_{n=0}^{\infty} A_{kn}(t) \vec{\xi}_{kn}(z) + \vec{\xi}_{\text{other}} \Rightarrow Ec \sim \int_0^1 \rho_0 \xi^2 dz = \sum_{k,n} A_{kn}^2 + Ec_{\text{other}}$$



- Les motivations
- Challenges numériques
- Détection des IGWs ?
- Le sous-espace ...**
- Convection et IGWs
- Conclusion

Page de Titre

◀ ▶

◀ ▶

Page 7 de 11

Retour

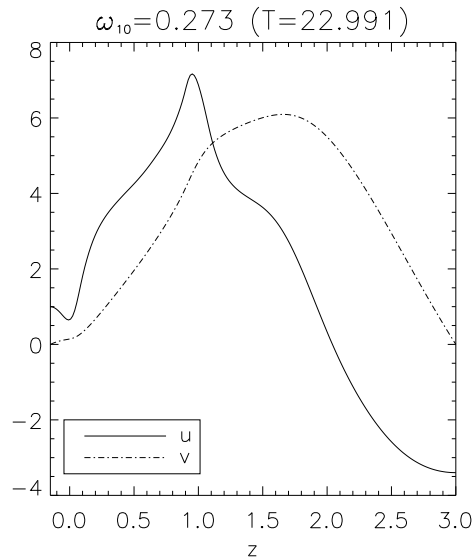
Full Screen

Fermer

Quitter

5. Convection et IGWs

- Projection de la simulation précédente sur le premier mode propre anélastique pour $k = 1$ ($\omega_{10} \simeq 0.273$) :
Dintrans, Brandenburg, Nordlund & Stein (2003)



Page de Titre



Page 8 de 11

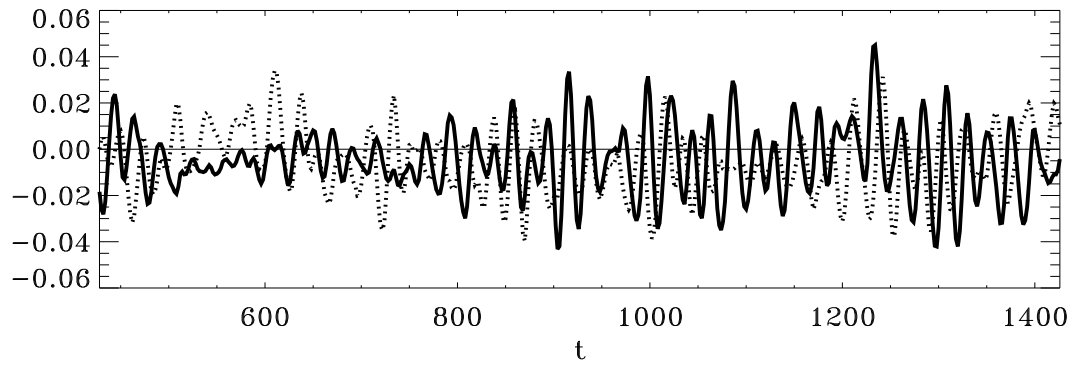
Retour

Full Screen

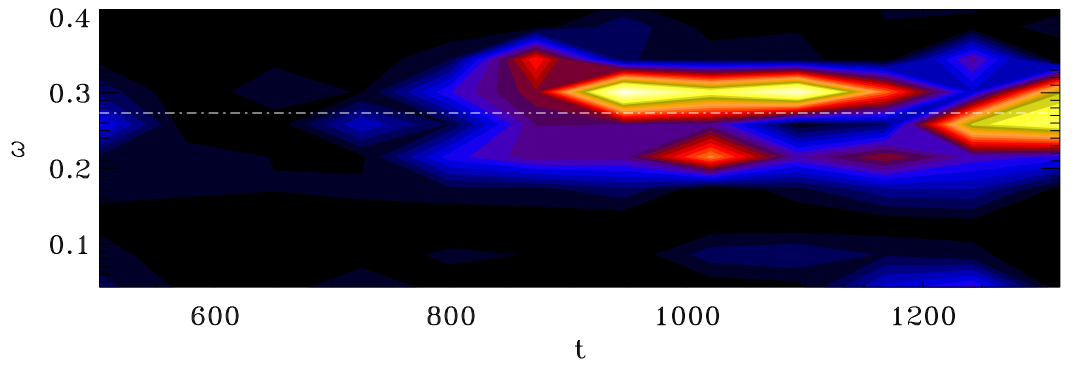
Fermer

Quitter

- Les motivations
- Challenges numériques
- Détection des IGWs ?
- Le sous-espace ...
- Convection et IGWs**
- Conclusion



Width=150



Page de Titre

◀◀ ▶▶

◀ ▶

Page 9 de 11

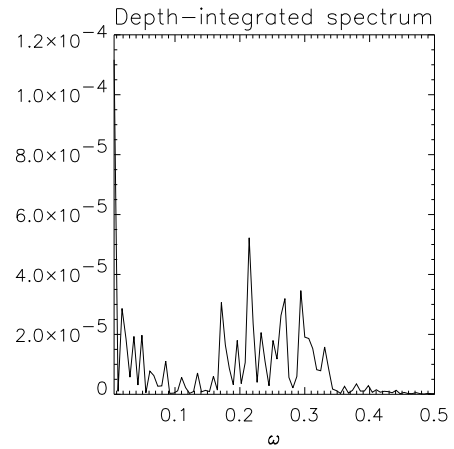
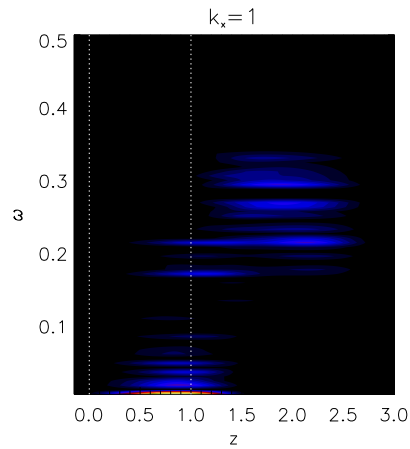
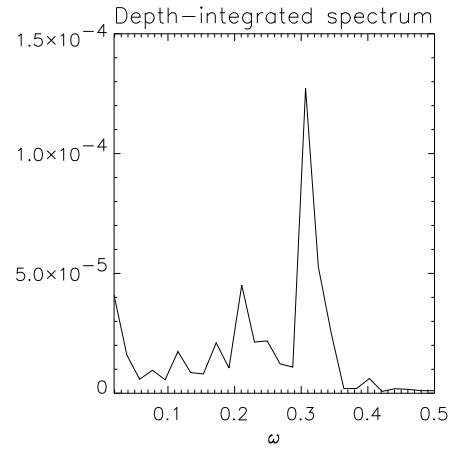
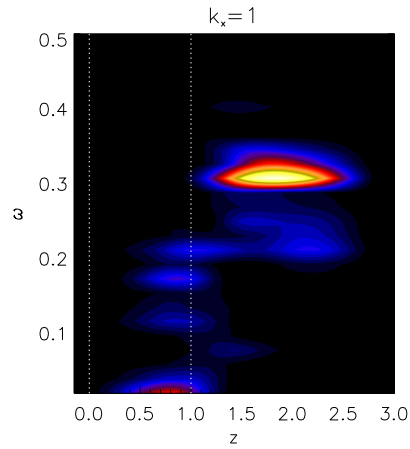
Retour

Full Screen

Fermer

Quitter

- Zoom FFT de ρv_z pour $t = [900, 1150]$:



- Les motivations
- Challenges numériques
- Détection des IGWs ?
- Le sous-espace ...
- Convection et IGWs**
- Conclusion

Page de Titre

◀◀ ▶▶

◀ ▶

Page 10 de 11

Retour

Full Screen

Fermer

Quitter

6. Conclusion

- Nouvelle méthode pour détecter les IGWs à partir de projections sur le sous-espace anélastique et des diagrammes temps-fréquence.
⇒ approche *quantitative* qui permet d'étudier directement les amplitudes des modes et leur spectre.
- Les panaches convectifs peuvent exciter des IGWs dans une ZR mais cette excitation est stochastique, *i.e.* différent des modes acoustiques excités dans la ZC par des fluctuations de pression et/ou d'entropie.
- Loi d'échelle pour l'overshoot et lien avec la MLT :

$$\Delta \propto F_{conv}^{1/2} \propto v^{3/2}.$$

Perspectives

- Propriétés du transport par ondes :
⇒ équation d'évolution pour un scalaire passif.
- CLs ouvertes au bas de la zone radiative pour évacuer les IGWs
⇒ le flux d'ondes sera réellement accessible.
- Etude de l'impact de F_{conv}/F_b sur l'excitation et comparaison avec des modèles stellaires réalistes.
- Passage au 3-D et au sphérique !

Les motivations

Challenges numériques

Détection des IGWs ?

Le sous-espace...

Convection et IGWs

Conclusion

Page de Titre



Page 11 de 11

Retour

Full Screen

Fermer

Quitter